

УДК 532.5.013.4:532.546

УСТОЙЧИВОСТЬ НЕРАВНОМЕРНО НАГРЕТОЙ ЖИДКОСТИ
В ПОРИСТОМ ГОРИЗОНТАЛЬНОМ СЛОЕ

АРТЕМЬЕВА Е. Л., СТРОГАНОВА Е. В.

Исследуется устойчивость неравномерно нагретой жидкости, находящейся в поле тяжести в плоском горизонтальном пористом слое, через который совершаются вертикальное вынужденное движение. Подобная система изучалась в [1, 2]. В данной работе дополнительно учитывается неоднородность проницаемости пористого слоя по глубине и зависимость вязкости насыщающей жидкости от температуры.

В результате применения линейной теории устойчивости возникает задача на собственные значения, которая решается численно. Получено семейство кривых, представляющих зависимость критического модифицированного числа Рэлея Ra_k^* от параметра вдувания — числа Рейнольдса — Pe — при различных степенях неоднородности проницаемости и вязкости. Обнаружено, что если при однородных проницаемости и вязкости Ra_k^* соответствует $Pe=0$ и с увеличением Pe устойчивость монотонно возрастает, то наличие неоднородности проницаемости или вязкости приводит к появлению минимума устойчивости в области $Pe \approx 1$, а при одновременном влиянии этих двух факторов минимум сдвигается в область $Pe \approx 2$.

Результаты работы могут использоваться, например, в исследовании процессов теплопереноса при вынужденном движении жидкости в трещинах проницаемого породного массива, когда при прокачке сквозь горизонтальную трещину через ее проницаемые стекки происходит вертикальное просачивание жидкости в пласт.

1. Пусть вязкая несжимаемая жидкость заполняет бесконечный горизонтальный пористый слой $0 \leq z' \leq h$. Границы слоя проницаемы, сквозь них осуществляется вертикальное вынужденное движение жидкости с постоянной скоростью W_0 . Для насыщенной пористой среды принимается так называемая гомогенная модель, в которой температуры жидкой и твердой фаз неразличимы [3]. Пусть верхняя граница насыщенного слоя поддерживается при температуре T_1' , а нижняя — при температуре $T_0 = -T_1' + \Delta T$.

Конвективный теплоперенос описывается системой уравнений в приближении Дарси — Буссинеска [4] и граничными условиями на верхней и нижней границе насыщенного слоя, которые в безразмерных переменных имеют вид

$$\nabla V = 0, \quad V = -Ra^*(\nabla p - \gamma T) \quad (1.1)$$

$$\frac{\partial T}{\partial t} + (V \nabla) T = \nabla^2 T \quad (1.2)$$

$$t = \frac{t' a}{6h^2}, \quad x = \frac{x'}{h}, \quad y = \frac{y'}{h}, \quad z = \frac{z'}{h}$$

$$V = \frac{V' h}{a}, \quad T = \frac{T'}{\Delta T}, \quad p = \frac{p'}{\rho g \beta \Delta T h}$$

$$Ra^* = \frac{k g \beta \Delta T h}{\nu a}, \quad Pe = \frac{W_0 h}{a}, \quad T_0 = \frac{T_0'}{\Delta T}, \quad T_1 = \frac{T_1'}{\Delta T}$$

$$V_z = Pe, \quad T = T_0 \quad (z=0), \quad V_z = Pe, \quad T = T_1 \quad (z=1) \quad (1.3)$$

Здесь x' , y' , z' , t' и V' – размерные координаты, время и скорость; температура T' отсчитывается от среднего постоянного значения $\langle T' \rangle$, давление p' есть отклонение от гидростатического давления, соответствующего $\langle T' \rangle$; ρ , v и β – соответственно средняя плотность, кинематическая вязкость и коэффициент объемного расширения жидкости; $\sigma = (\rho c)_c / (\rho c)_w$ – отношение эффективной теплоемкости насыщенной пористой среды к теплоемкости жидкости, $a = \lambda_c / (\rho c)_w$ – эффективный коэффициент температуропроводности (λ_c – эффективная теплопроводность насыщенной пористой среды); k – проницаемость пористой среды, g – ускорение свободного падения, γ – орт оси z , направленный вертикально вверх; Ra^* – модифицированное число Рэлея.

Система (1.1)–(1.3) допускает решение, соответствующее невозмущенному состоянию, когда свободная конвекция отсутствует и имеется только вынужденное вертикальное движение жидкости поперек слоя. Распределение температуры при этом имеет вид

$$T_p = T_0 + \frac{1 - \exp(Pe z)}{1 - \exp(Pe)} \quad (1.4)$$

Вводя далее поля температуры и давления, отличающиеся от равновесных на малые величины возмущений, подставляя их в систему (1.1)–(1.3) и, согласно линейной теории устойчивости [4], пренебрегая малыми второго порядка, получаем систему уравнений для возмущений с соответствующими граничными условиями. После исключения давления она окончательно принимает вид

$$\nabla(\varphi \nabla V_z) = Ra_1^* \left(\frac{\partial^2 T}{\partial x^2} + \frac{\partial^2 T}{\partial y^2} \right) \quad (1.5)$$

$$\frac{\partial T}{\partial t} + V_z \frac{Pe \exp(Pe z)}{1 - \exp(Pe)} + Pe \frac{\partial T}{\partial z} = \nabla^2 T \quad (1.6)$$

$$Ra_1^* = \frac{k_1 g \beta \Delta Th}{v_1 a}, \quad \varphi = \left(\frac{v}{k} \right) / \left(\frac{v_1}{k_1} \right)$$

$$T=0, \quad V_z=0 \quad (z=0; 1) \quad (1.7)$$

Здесь k_1 – проницаемость пористого слоя у верхней границы, а v_1 – вязкость насыщающей жидкости при температуре верхней границы. Введение величины φ продиктовано следующими соображениями.

В реальных условиях проницаемость пористого пласта k , как правило, не постоянна. Одним из возможных случаев является ее монотонное уменьшение с глубиной из-за уплотнения пористого объема. Зависимость коэффициента пропорциональности k от глубины можно моделировать, например, линейным или экспоненциальным законом

$$k(z) = k_0 + (k_1 - k_0)z \quad (1.8)$$

$$k(z) = k_1 (k_0/k_1)^{1-z} \quad (1.9)$$

Здесь k_0 – коэффициент проницаемости на глубине $z=0$.

Вязкость насыщающей жидкости есть величина, в общем случае зависящая от температуры; особенно существенна эта зависимость для больших перепадов температуры, которые могут иметь место в природных структурах. Для воды весьма точным в интервале температур $25^\circ\text{C} < T' < 250^\circ\text{C}$ является эмпирический закон Будинга

$$v = v_1 [1 + \alpha_v (T - T_1)]^{-1} \quad (1.10)$$

где v_1 – вязкость при температуре T_1 , $\alpha_v = \text{const}$. С учетом того, что $T_p + T_\epsilon = T$, где T_ϵ – малое возмущение, а T_p задается формулой (1.4), этот

закон может быть преобразован к виду

$$\frac{v}{v_0} = \left[1 + \left(\frac{v_1}{v_0} - 1 \right) \left(\frac{\exp(Pe) - \exp(Pe z)}{\exp(Pe) - 1} \right) \right]^{-1}$$

где введена вязкость v_0 при температуре нижней границы T_0 .

Для решения системы (1.5)–(1.7) любое возмущение, возникшее в системе, представляется в виде суперпозиции нормальных возмущений вида

$$T(x, y, z, t) = \theta(z) \exp[\lambda t + i(K_1 x + K_2 y)] \quad (1.11)$$

$$V_z(x, y, z, t) = W(z) \exp[\lambda t + i(K_1 x + K_2 y)]$$

где λ – декремент, K_1 и K_2 – волновые числа, θ и W – амплитуды. Обращение λ в нуль выделяет условия нейтральности возмущения, т. е. определяет границу устойчивости равновесия. Подставляя (1.11) при $\lambda=0$ в систему (1.5)–(1.7), получаем следующую краевую задачу, в которой Ra_1^* является собственным числом:

$$\frac{d}{dz} \left(\varphi \frac{dW}{dz} \right) - K^2 \varphi W = - Ra_1^* K^2 \theta \quad (1.12)$$

$$-W \exp(Pe z) + Pe \frac{d\theta}{dz} = \left(\frac{d^2}{dz^2} - K^2 \right) \theta \quad (1.13)$$

$$W=0=0 \quad (z=0), \quad W=0=0 \quad (z=1)$$

$$K^2 = K_1^2 + K_2^2 \quad (1.14)$$

Интерес представляет минимальное собственное число Рэлея Ra_k^* , которое определяет порог конвекции в данной системе.

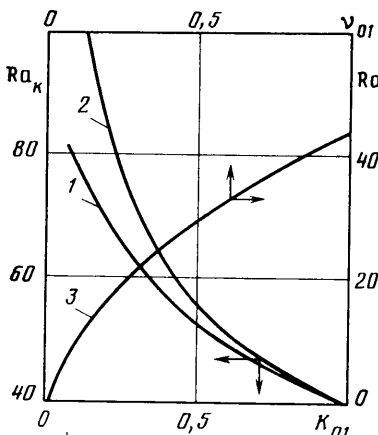
2. Полученная краевая задача решается численно. Уравнения (1.12)–(1.13) интегрируются с помощью стандартной процедуры Рунге – Кутта при некоторых начальных приближениях для числа Ra_1^* и граничного условия $(dW/dz)_0$. Уточнение этих значений производится путем итераций на основе метода Ньютона для системы из двух уравнений (1.14) с двумя неизвестными Ra_1^* и $(dW/dz)_0$. Начальные приближения выбирались из существующих аналитических решений и из общих соображений о закономерностях процесса. Полученное собственное число Ra_1^* системы (1.12)–(1.14) затем минимизируется методом «золотого сечения» в зависимости от волнового числа K , так как именно этот минимум Ra_k^* определяет границу устойчивости.

Для выявления общих закономерностей влияния на устойчивость изменяющихся параметров слоя при отсутствии поперечного потока $Pe=0$ на фиг. 1 построены кривые 1 и 2 зависимости Ra_k^* от соотношения $k_{01} = k_0/k_1$ при $v_{01}=v_0/v_1=1$ (кривая 1 – $k(z)$ изменяется по линейному закону (1.8), кривая 2 – $k=k(z)$ подчиняется экспоненциальному закону (1.9), кривая 3 – Ra_k^* от v_{01} при $k_{01}=1$). Рост устойчивости при уменьшении k_{01} можно объяснить тем, что при слабой проницаемости внизу пористого слоя поток сконцентрирован в верхней части слоя; эффективная глубина уменьшается, а число Рэлея, построенное по полной глубине, увеличивается.

С учетом изменяющейся с температурой вязкости жидкости при $k_{01} = 1$ Ra_k^* тем меньше, чем меньше v_{01} или, иначе, чем больше перепад температуры (кривая 3 на фиг. 1). Это очевидно, так как жидкость вблизи горячей нижней границы значительно менее вязкая, чем при температуре верхней границы T_1 , она становится нестабильной при меньшем числе Рэлея, чем в случае жидкости с $v=v_i=\text{const}$. В [7] указывается на уменьшение Ra_k^* в 5 раз по сравнению с классическим значением при перепаде температуры 250 С. При этом в формуле (1.10) $\alpha_v=1/(T_0'-260)$,

а $T_0' = 294$ С. Пересчет полученных в данной работе результатов для этих параметров дает уменьшение Ra_k^* в 4,4 раза.

Кривые на фиг. 2 определяют зависимость Ra_k^* от Pe , характеризующего скорость поперечного потока при $v_{01}=1$ (1–5 – соответственно значения параметра $k_{01}=0,10; 0,25; 0,5; 0,75; 1,00$). Тестовая кривая 5 на линейном участке имеет тангенс угла наклона к оси абсцисс 14,5. В [2] эта величина равна 14,3 (штриховая кривая 5). При достаточно сильном влиянии неоднородности проницаемости наиболее неустойчива система,

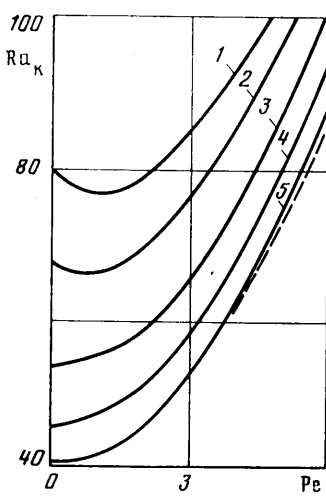


Фиг. 1

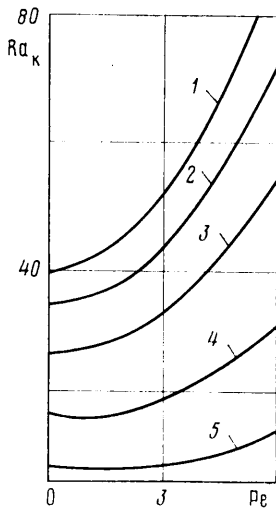
в которой имеется слабое поперечное движение жидкости $Pe \approx 1$, несмотря на то, что вообще наличие вынужденного движения должно повышать устойчивость.

Аналогичная картина наблюдается для семейства кривых зависимости Ra_k^* от Pe (фиг. 3), когда параметром является v_{01} (1–5 – соответственно $v_{01}=1,00; 0,75; 0,5; 0,25; 0,10$). При слабом изменении вязкости ($v_{01}=0,75; 0,5$), что соответствует малым перепадам температуры, поведение кривых аналогично поведению тестовой, а при $v_{01}=0,25$ и $0,1$ минимум устойчивости находится в области $Pe \approx 1$.

Поведение устойчивости в области малых чисел Pe и дальнейшее ее повышение можно понять из следующих соображений.



Фиг. 2



Фиг. 3

При $k_{01}=1, v_{01}=1$ с увеличением скорости вертикального движения у верхней границы образуется температурный пограничный слой (см. разделение температуры (1.4)). В связи с этим уменьшается эффективная толщина стратифицированного слоя жидкости $h_e \sim h/Pe$. Так как характерная разность температуры при этом остается фиксированной, то число Рэлея Ra_k^* , определенное обычным образом по полной толщине слоя, имеет порядок $Ra_k^* \sim h/h_e \sim Pe$, т. е. растет с числом Пекле.

В случае $k_{01} \neq 1, v_{01}=1$ при $Pe=0$ это означает, что в нижней, более плотной области пористого объема движение почти отсутствует, оно сосредоточено в верхних частях объема и в связи с этим эффективная толщина слоя уменьшается. Пусть теперь у нижней границы появляется

слабое вертикальное течение, $Pe \sim 1$. Жидкость в нижней части пористого слоя уже не является неподвижной, так что эффективная толщина слоя не уменьшается, как в случае $Pe=0$. Вместе с тем это вертикальное движение еще не настолько сильно, чтобы создать пограничный слой у верхней границы и в свою очередь уменьшить h_e . Итак, в области малых Pe функция Ra_k^* от Pe убывает. При дальнейшем увеличении Pe начинает проявляться эффект, описанный в предыдущем абзаце. Функция Ra_k^* от Pe начинает возрастать.

Обратимся теперь к случаю $v_{01} \neq 1$, $k_{01}=1$. Наличие большой разности температур между верхней и нижней границами приводит к тому, что у нижней (горячей) границы вязкость жидкости значительно меньше, чем при температуре верхней границы, т. е. жидкость более подвижна по сравнению с «классическим» случаем и, следовательно, более нестабильна. Появление у нижней границы малого поперечного потока еще более увеличивает подвижность, а значит, нестабильность жидкости. Критическое число Рэлея Ra_k^* убывает. Увеличение поперечного потока приводит уже к преобладанию эффекта образования пограничного слоя, уменьшаю эффективной толщины слоя; Ra_k^* возрастает.

Исследование устойчивости рассматриваемой системы при взаимном влиянии неоднородности проницаемости и меняющейся с температурой вязкости показало, что минимум Ra_k^* сдвигается в сторону больших скоростей поперечного потока — в область $Pe \approx 2$.

ЛИТЕРАТУРА

1. Гершунин Г. З., Жуховицкий Е. М., Шварцблат Д. Л. О возникновении конвекции в горизонтальном слое пористой среды при наличии поперечного просачивания.— В кн.: Тез. докл. на II Всесоюз. конф. «Современные проблемы тепловой конвекции». Пермь, 1975.
2. Homsy G. M., Sherwood A. E. Convective instabilities in porous media with through flow.— AIChE Journal, 1976, v. 22, No 1, p. 168–174.
3. Пудовкин М. А., Волков И. К. Краевые задачи математической теории теплопроводности в приложении к расчетам температурных полей в нефтяных пластах при заливании. Казань: Изд-во Казанск. ун-та, 1978. 188 с.
4. Гершунин Г. З., Жуховицкий Е. М. Конвективная устойчивость несжимаемой жидкости. М.: Наука, 1972. 392 с.
5. Wooding R. A. Large-scale geothermal field parameters and convection theory.— N. Z. J. Sci., 1978, v. 21, № 2, p. 219–228.
6. Бахвалов Н. С. Численные методы. М.: Наука, 1975. 631 с.
7. Zebib A., Kassoy D. R. Onset of natural convection in a box of water-saturated porous media with large temperature variation.— Phys. Fluids, 1977, v. 20, № 1, p. 4–9.

Ленинград

Поступила в редакцию
14.I.1986